



# Universidade Federal do Ceará

Disciplina: Estimação e Detecção

Professor(a): Chales Casimiro Cavalcante

Estudante: Rubem Vasceconcelos Pacelli Matrícula: 474725

Dezembro de 2019

## Lista 6

1. (a) O vetor variáveis aleatórias  $\mathbf{y}$  é definido por

$$\mathbf{y} = \begin{bmatrix} y[n] \\ y[n-1] \end{bmatrix} \quad (1)$$

Em que  $y[n]$  é a saída de um canal de comunicação (definida pela função de sistema  $H(z)$ ) para um sinal de entrada  $x[n]$ . Seja a função de sistema do canal dada por:

$$H(z) = 1 + 1,6z^{-1} \quad (2)$$

A transformada Z da saída do sistema é:

$$\begin{aligned} Y(z) &= X(z) H(z) \\ &= X(z) + 1,6z^{-1}X(z) \end{aligned} \quad (3)$$

Aplicando a transformada Z inversa em 3, temos:

$$y[n] = x[n] + 1,6x[n-1] \quad (4)$$

Com base na equação 4, a matriz de correlação é:

$$\begin{aligned} \mathbf{R}_y &= \begin{bmatrix} E\{y^2[n]\} & E\{y[n]y[n-1]\} \\ E\{y[n-1]y[n]\} & E\{y^2[n-1]\} \end{bmatrix} \\ &= \begin{bmatrix} 3,56 & 1,6 \\ 1,6 & 3,56 \end{bmatrix} \end{aligned} \quad (5)$$

E a matriz de correlação cruzada entre o sinal desejado e o sinal de entrada é:

$$\begin{aligned} \mathbf{R}_{xy} &= E\{\mathbf{y} x[n]\} \\ &= \begin{bmatrix} E\{y[n]x[n]\} \\ E\{y[n-1]x[n]\} \end{bmatrix} \\ &= \begin{bmatrix} 1 \\ 0 \end{bmatrix} \end{aligned} \quad (6)$$

As equações de Wiener busca os coeficientes do filtro FIR (do inglês, *Finite Impulse Response*) que minimiza a função custo:

$$J(\mathbf{w}) = E[e^2[n]] \quad (7)$$

Em que  $\mathbf{w}$  são os seus coeficientes e  $e[n]$  é o sinal de erro entre a saída do filtro e o sinal desejado. No contexto dessa questão, deseja-se obter o filtro de Wiener que desempenhe a função de equalização de canal, isto é, busca-se obter os coeficiente da filtragem ótima que seja capaz de recuperar o máximo possível o sinal transmitido,  $x[n]$ . Aplicando a equação de Wiener-Hopf, temos:

$$\begin{aligned} \mathbf{w}_o &= \mathbf{R}_y^{-1} \mathbf{R}_{xy} \\ &= \begin{bmatrix} 0,352 \\ -0,1582 \end{bmatrix} \end{aligned} \quad (8)$$

Para provar a eficácia da filtragem ótima aplicado à equalização de canal, é gerado (em ambiente computacional) um sinal branco, de variância unitária para representar o sinal transmitido  $x[n]$ . Este processo aleatório passa por um canal cuja função de sistema é igual a equação 2. Com o objetivo de recuperar o sinal transmitido, é utilizado um filtro de Wiener no receptor com os parâmetros iguais aos que foram calculados na equação 8. A Figura 1 mostra o resultado desse processamento.

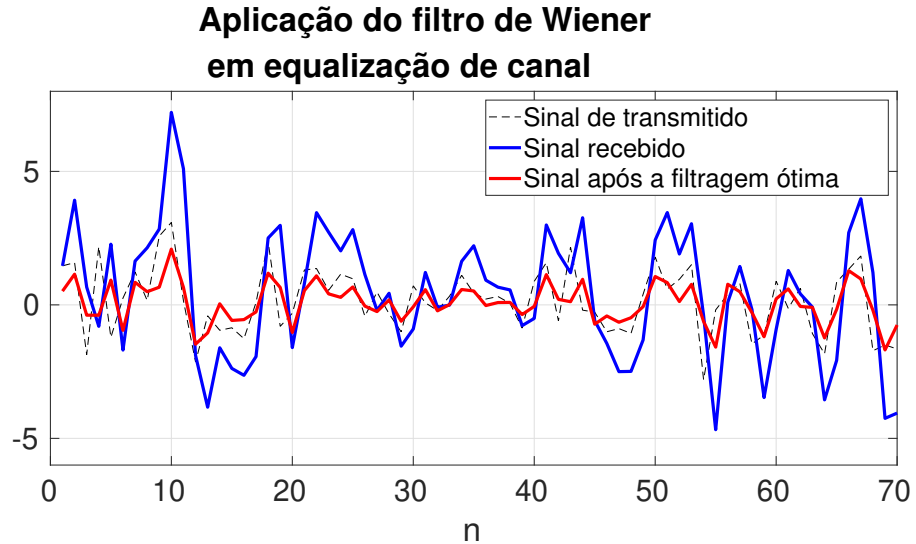


Figura 1: Processamento do sinal recebido utilizando o filtro de Wiener (equalização de canal).

Como é possível perceber, o filtro de Wiener aproxima significativamente  $y[n]$  a  $x[n]$ . Canais com memória são comumente encontrados em sistemas de co-

municações reais. A filtragem ótima provê uma ótima ferramenta prática para a equalização canais com mais de 1 *tap* de duração.

(b) i. Para o cálculo do algoritmo do gradiente, pretende-se calcular o seguinte:

A. Decomposição de  $\mathbf{R}_y$

B. Modos naturais

C. Equações do aprendizado do filtro

A matriz modal (i.e., a matriz formada pelos autovetores ortogonais) é dada por [1]:

$$\mathbf{Q} = \begin{bmatrix} -0,7071 & 0,7071 \\ 0,7071 & 0,7071 \end{bmatrix} \quad (9)$$

A matriz diagonal dos autovalores é:

$$\mathbf{\Lambda} = \begin{bmatrix} 1,96 & 0 \\ 0 & 5,16 \end{bmatrix} \quad (10)$$

Os coeficientes do filtro adaptativo aproximam-se dos coeficientes ótimos,  $\mathbf{w}_o$ , de acordo com os modos naturais. Para que o algoritmo convirja, é necessário que os modos naturais tendam a 0 a medida que o laço do algoritmo é incrementado. O vetor dos modos naturais é dado por [2]:

$$\mathbf{v}[n] = \begin{bmatrix} v_0[n] \\ v_1[n] \end{bmatrix} = \mathbf{Q}^T \mathbf{w}_e \quad (11)$$

Em que  $\mathbf{w}_e = \mathbf{w}[n] - \mathbf{w}_o$ . Como  $\mathbf{w}[0] = \mathbf{0}$  (em que  $\mathbf{0}$  é o vetor nulo), temos que:

$$\begin{aligned} \mathbf{v}[0] &= -\mathbf{Q}^T \mathbf{w}_o \\ &= \begin{bmatrix} 0,36 \\ -0,137 \end{bmatrix} \end{aligned} \quad (12)$$

Com base nos valores iniciais dos modos naturais, podemos calcular  $\mathbf{v}[n]$  como segue:

$$\begin{aligned} \mathbf{v}[n] &= (\mathbf{I} - 2\mu\mathbf{\Lambda})^n \mathbf{v}[0] \\ &= \begin{bmatrix} 1,96 \times 0,804^n \\ 0 \end{bmatrix} \end{aligned} \quad (13)$$

Em que  $\mu = 0,05$  é o passo de adaptação. Por fim, o algoritmo recursivo

do filtro é:

$$\begin{aligned}\mathbf{w}[n] &= \mathbf{w}_o + \sum_{j=0}^1 \mathbf{q}_j v_j[n] (1 - 2\mu\lambda_j)^n \\ &= \begin{bmatrix} 0,352 - 0,2551 \times 0,804^n - 0,0969 \times 0,484^n \\ -0,1582 + 0,2551 \times 0,804^n - 0,0969 \times 0,484^n \end{bmatrix} \quad (14)\end{aligned}$$

A Figura 2 mostra a curva de nível para o algoritmo gradiente. Como referência, também é colocado o ponto de Wiener.

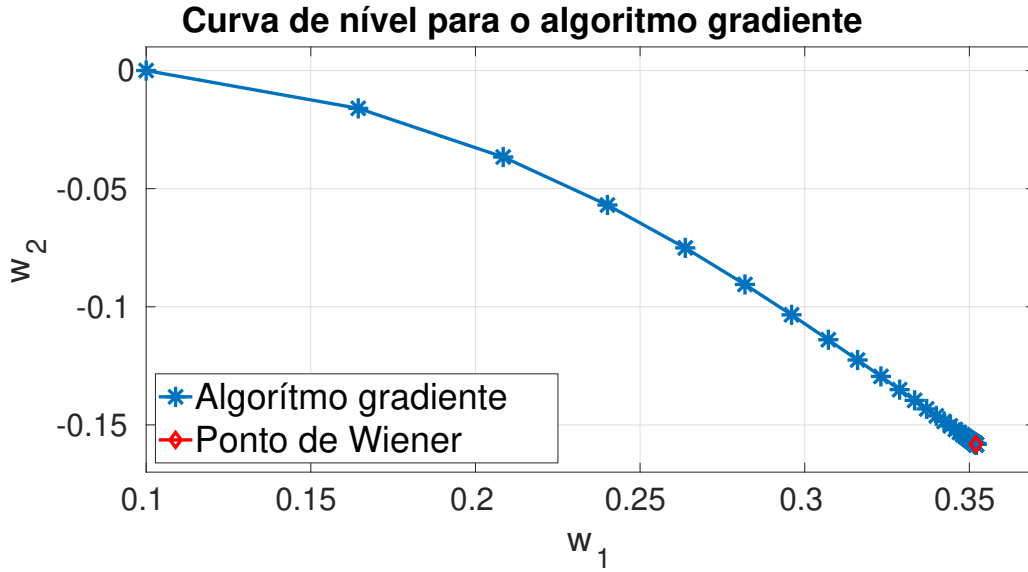


Figura 2: Curva de nível para o algoritmo gradiente.

ii. Para o algoritmo de Newton, temos que:

$$\mathbf{w}[n+1] = \mathbf{w}[n] - \mu [\mathbf{w}[n] - \mathbf{R}_y^{-1} \mathbf{R}_{xy}] \quad (15)$$

A Figura 3 mostra a curva de nível para este algoritmo.

Observe que, diferentemente da Figura 2, a curva de superfície do algoritmo de Newton forma uma única reta até o ponto de Wiener. Isso se dá porque este algoritmo, por ser de segunda ordem, busca o caminho de minimiza a função custo em uma concavidade, enquanto que o gradiente busca em um plano. Como a função custo é quadrática, a curva de nível que vemos no algoritmo de Newton é um único segmento que nos leva até o ponto ótimo (após algumas iterações).

iii. Para o algoritmo LMS, o algoritmo de recursão é dado por:

$$\mathbf{w}[n+1] = \mathbf{w}[n] + 2\mu \mathbf{x}[n] e[n] \quad (16)$$

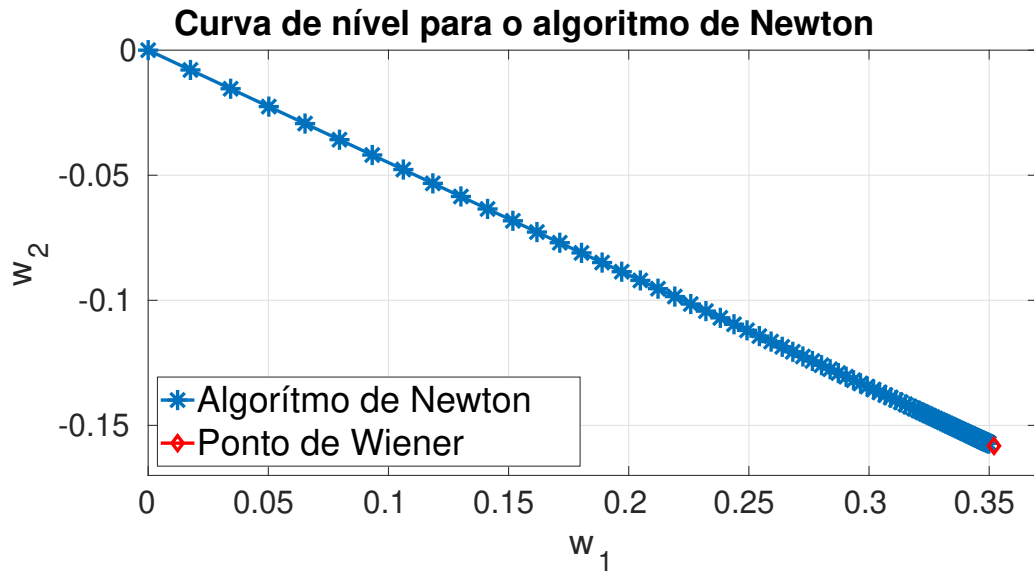


Figura 3: Curva de nível para o algoritmo de Newton.

A Figura 4 mostra a curva de superfície para este algoritmo. Observe que, diferente dos outros algoritmos, o método LMS não obtém os coeficientes de Wiener perfeitamente. Ao invés, os coeficientes do filtro ótimo variam em torno do valor ótimo. Esse resultado está de acordo com o que é reportado na literatura.

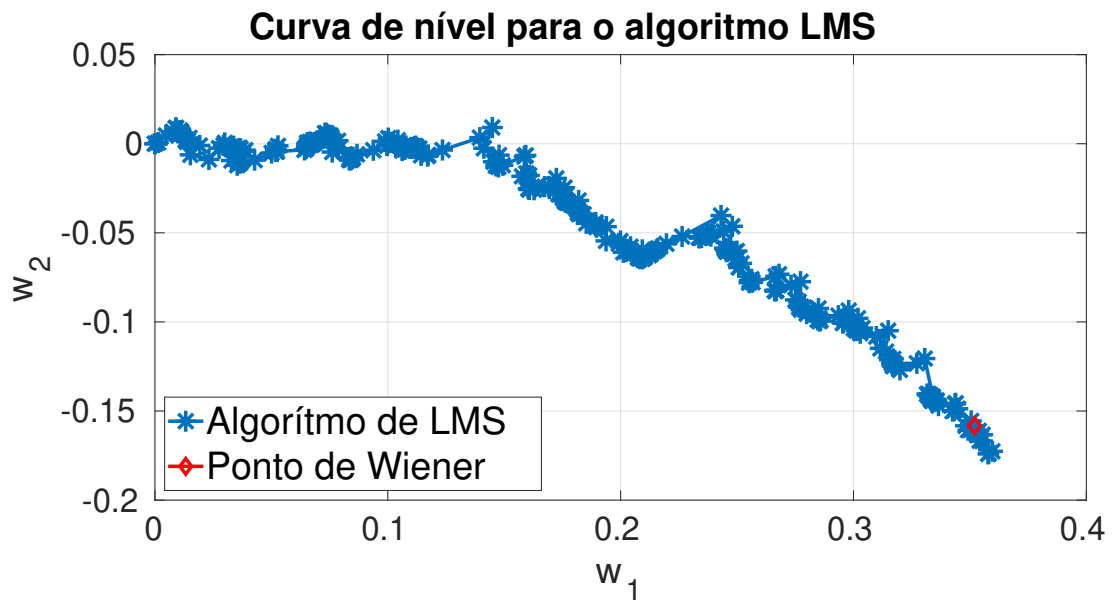


Figura 4: Curva de superfície para o algoritmo LMS.

## Referências

- [1] M. Barkat, *Signal Detection And Estimation (Artech House Radar Library)*. Artech House Publishers, 2nd ed., 2005.
- [2] S. abrant, *Processamento Adaptativo de Sinais*. Fundação Calouste Gulbekian, 2000.